

目 次

宇宙を探る電波の眼.....	守山史生	35
アメリカの天文臺巡り.....	萩原雄祐	40
各地の民衆天文臺を尋ねて.....	下保茂・眞鍋良之助・富田弘郎	41
海外論文紹介		
地球の赤道牛徑と月の誤差の決定.....	古在山秀	43
太陽大氣のモデル.....	稻場文男	44
星雲分布の非一様性.....	成相秀	45
雑報		46
最近到着の観測電報		
外惑星の日心座標		
散在流星の速度		
龍座流星群の軌道		
SIGNAL & NOISE.....		47
3月の天象.....		48
表紙写真——おとめ座にある5つの銀河系外星雲とそれを結ぶ物質——海外論文紹介参照 (パロマー山天文臺 48インチ・シュミット・カメラにて撮影)		

本 會 記 事

春季年會及び總會のおしらせ

本年度春季年會は次のように開催することに決定しました。

年　　會

日時 4月30日 5月1, 2日 午前9時より
(第1日夕刻よりシンポジウム,
第3日は綜合講演會)

場所 東京都港區飯倉3丁目

東京大學理學部天文學教室

總　　會

同所において 5月1日 12時半より

議　　事　　昭和27年度會務報告

昭和27年度會計報告

理事長、副理事長改選

理事指名

総合講演會

5月2日午後1時より次の講演があります。

ケフェウス毫髮光星に

ついで…………柳壽一氏

歐米天文臺視察談…………萩原雄祐氏

(クライマックス高山天文臺撮影のプロミネンスの映畫を映寫)

年會講演お申込み

年會の講演申込みは3月末までに本會年會係まで氏名、所属、講演アブストラクトを添えてお送り下さい。

懇親會

5月1日(年會第2日)終了後開催します。會費は300圓を預定で當日會場でいただきますが、御出席のかたは個人又は研究所単位にて4月20日までに本會年會係までお申込下さい。

理 科 年 表 28 年 版

東京天文臺編

A 6 判 600 頁 ¥ 280.

理工學關係の學生、研究に從事する人々が日常必要とする諸常數、諸資料を曆・天文・氣象・物理・化學・地學の廣範圍にわたり、最も新しいデータに基き豊富にかつ正確に記載されている。

東京・日本橋・江戸橋2の9 丸 善 出 版 振替 東京109981

昭和28年2月20日 印刷 発行

定價30圓(送料4圓) 地方賣價33圓

編輯兼發行人 東京都三鷹市東京天文臺内

廣瀬秀雄

印 刷 所 東京都港區芝南佐久間町一ノ五三

笠井出版印刷社

發 行 所 東京都三鷹市東京天文臺内

社團法人 日本天文學會

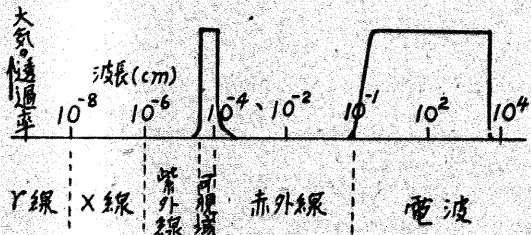
振替口座 東京13595

宇宙を探る電波の眼

守山史生*

宇宙についての吾々の知識は、地球を取り巻く大気を通して外界より送られてくるかすかな信号を基にして築かれている。この信号は電磁波と呼ばれ、大気の條件の良い時でも人間の眼は天體から来る電磁波の内、可視スペクトルと名付けられる極く一部分の領域しか感することは出来ない。いわば吾々は普通非常に狭い窓から宇宙をのぞいているのである。勿論種々の物理的装置を使って可視領域外の輻射を検出し人間の眼の感度を擴げる事が出来るが、地球大気の吸收のためにこの附近の窓にはカーテンがかけられたのと同じ結果になつてゐる。

ところが他に電波領域とよばれる窓がある。この窓の短波長側はやはり大気の吸收のため 2.5mm 附近で區切られて居り、長波長側は電離層の吸收、反射によつて約 20m の處までしかないが、光の窓に比べて幅



第 1 図 “電波の窓” と “光の窓”

が 50 乃至 100 倍も大きい。只最近まではこの領域を取り扱う技術が貧弱であつたため、天文學的に電波の窓の重要性が認識されていなかつた。いわば近視眼の人々に眼鏡が與えられず、遠くの事には無関心だつた状態といつてよかろう。

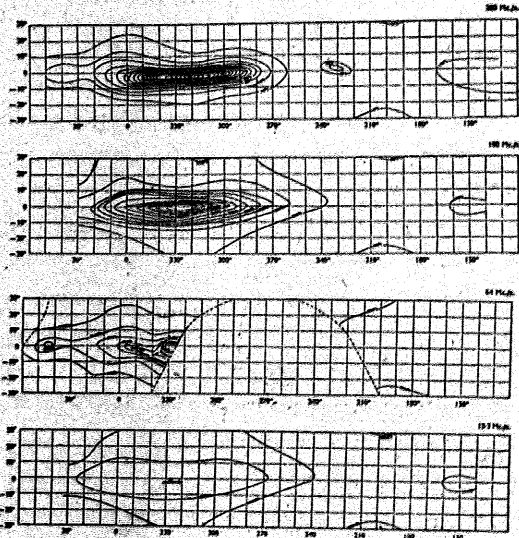
第二次世界大戦以來レーダーの發達に伴い、その各方面への應用がおしひろめられていつたが、古い歴史と傳統を誇る天文學に於ても、その洗禮をうけた點では例外でなかつた。勿論「電波の窓から宇宙をのぞき得る」という考えは、マクスウェルの電磁氣學が華々しい成果をあげた 20 世紀初頭の物理學者の胸には一應浮んだことであろうが、悲しいかな彼等の眼は餘りにも貧弱すぎたのである。

時移つて 1931 年、アメリカの Jansky が銀河より來る電波を偶然發見し、ここに Radio Astronomy の芽が天文學の花園に生い出することとなつた。併し周

囲の状況はうら寒き冬の野に似て、新しい生命の健やかな成長は見られず、二三の人がばらばらに實驗的觀測を行つてゐるのみで十數年の星霜は流れていつた。そして暗い戰争の終つた 1945 年頃より、一大飛躍をとげた電子工學技術の陽光をあびて Radio Astronomy は燐爛の華を咲かせつつ現在に至つてゐる。この新しい天文學の領域には流星の研究の様に、こちらから電波を發射し目的物からの反射電波をしらべるものと、太陽、銀河の場合の如く専ら天體自身より輻射される電波を扱うものがある。此處では後者の中で、銀河及びそれに關連すると考えられている問題について概説を試みたいと思う。この様な研究に對しては、真空管等に關する基礎工學の發展のみならず、變調法 (modulation method), 干渉法 (interference-method), 位相反轉切換法 (phase-switching method) の様な應用技術の進歩や大口径アンテナの出現が、與つて非常に大きな力のあつたものであるが、これらに關しては天文月報 45 卷 6 號に鈴木氏の詳しい解説があるからそれを參照されたい。

銀河

電波による銀河の觀測は、Radio Astronomy に於ては最も歴史が古く、戰前既に Jansky, Reber 等の研究があり、現在迄に數多くの周波數帶において觀測



第 2 図 銀河電波の強度分布
上から 200, 100, 64, 18.3 Mc/s のもの

* 東京天文臺

が行われ、観測領域は 9.5 Mc/s より 3000 Mc/s にわたっている。この中代表的な 4 周波数で測った銀河電波の天空上の分布を第 2 図に示してある。強度は温度に換算してあることに注意されたい。此等の図を見てすぐ分ることは、

(1) 4箇の分布の大體の様子は非常によく似ていること。

(2) 周波数の低い程温度が高いこと。

(3) 等温線の間隔が周波数の高い程狭いこと、即ち銀河の中心に近い方向では强度の勾配が波長の小さい程強いこと等であろう。

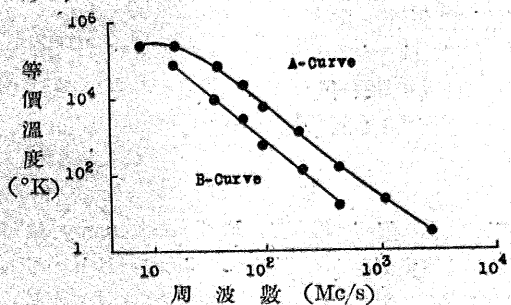
次に銀河内に下記の三點をとり、それらの点におけるスペクトルを圖示すると第 3 圖の様になる。

A 点 銀緯 -2° 銀經 330°

B 点 " 0° " 180°

C 点 " -80° " 200°

(A 点は銀河の中心に近く、最も高い周波数迄観測されている箇所、B 点は銀河内ではあるが輻射が弱い所、C 点は銀河から離れた領域の夫々代表として選んである。)



第 3 圖 銀河電波のスペクトル

但し C 点におけるスペクトルカーブは B 点のそれと類似しているので省いた。このカーブは $T \propto f^{-\alpha}$ という形にかける。カーブの傾斜度を示す α は B のカーブの中心附近では 2.78 で、A のカーブの中心部ではより小さく 2.51 となつていて、又 A のカーブの右側即ち 1000 Mc/s より周波数の高い所では約 2 という値を示し、低周波側では殆ど 0 に近い。

さて銀河より来る電波の起源は、銀河の構造などに關連して非常に興味深い問題であるため、幾多の理論が發表されているが、上記の強度分布・スペクトル等の觀測事實を充分説明する満足な解答は與えられていない。殊に銀河電波の輻射スペクトルは、強い磁場を持つ太陽黒點の附近より放射される enhanced radiation のスペクトルに似ており、電離ガスが分布している空間から純熱的過程で輻射されるという考えでは説明出来ない事が證明される。この意味から、

星間空間に分布する電離水素の場の中で、電子が自由-自由遷移によつて電波を放出するという説明は根本的な難點に遭遇する。併し此は星間ガスか銀河電波に全然寄與していないという意味ではなく、數百 Mc/s 以上の周波数の高い所ではスペクトルも光學的に薄いガス體からの熱輻射のそれと矛盾していない事を考え合せると、銀河電波の一部は星間ガスの輻射が受持つてゐる豫想してもよいであろう。

では残りの大部分の輻射機構は何によるのかといえば、enhanced radiation のスペクトルと似ている事から、この様な電波が熱輻射でなく、電磁氣的な動起によつて生ずるのではないかと想像されよう。併し現在の所、かかる複雑な機構で發生する電波の理論は打ち立てられていないので、不明というより他に術はない。そこでオランダの Oort, Westerhout⁹⁾ はスペクトル、即ち銀河電波がどのようにして生ずるのかはぬきにして強度分布だけに注目し、銀河電波の分布は普通の星の質量の分布に比例していると仮定して、天空上の輻射強度分布を計算した。即ち彼等の考えは、後述の radio star が銀河系内に普通の星と同様の分布をして存在しており、それからの輻射の總和が銀河電波であるという予想に基づいている。此の結果を Bolton, Westfold の 100 Mc/s における觀測と比べてみると、銀河の極方向及び中心と反対の方向を除いては非常によく合つてゐる。これら二つの方向では計算値より觀測された強度の方が強くなつてゐるが、彼等は之は銀河系外の星雲からの寄與ではないかと想像している。

銀河系星雲

吾が銀河系内に電波が充満している事實から、銀河系と同様の構造をもつ銀河系外星雲もやはり電波の輻射體ではなかろうかという考えは容易に抱かれる。併し最も近いアンドロメダ星雲でさえ 75 萬光年という遠距離にあり、視直徑の極く小さなものであるだけに受信装置の感度、分解能が相當良くなくては検出が困難である。これに成功したのは、英國マンチェスターに建設された口径 220 フィートの巨大な反射鏡の偉力の賜物といつても過言ではなかろう。Hanchury Brown 及び Hazard¹⁰⁾ はこの電波望遠鏡を用いてアンドロメダ星雲 (M31) の方向を搜索した結果、赤經方向に $\frac{3}{4}$ 度、赤緯方向に $\frac{1}{2}$ 度の擴がりを持つ弱い電波源を見付けた。そしてその (1) 位置が $10'$ 以内で M31 と合つてゐること、(2) 視直徑が M31 のそれと似てゐること、(3) 強度が、M31 が銀河と同様な電波の輻射體であると假定して豫期される値と一

致していることから、アンドロメダ星雲もやはり銀河系と同様に電波を放射していると結論した。更に Ryle, Smith, Elsmore⁹⁾ は波長 3.7 m の干渉計で北半球の radio star を探索中、M 31, M 33, M 101, M 51 の方向に夫々電波源の存在することを発見した。

引續いて Hanbury Brown と Hazard¹⁰⁾ は再び大反射鏡を用い、M 101, M 51, NGC 4258, 及びペルセウス座、大熊座の星雲團より 1.9 m の電波の來ていることを検出した。彼等は観測結果よりこれら星雲の寫眞等級 (photographic magnitude) と radio magnitude の関係を導き、又天球上の電波強度の分布に凹凸があるのは、銀河系外星雲の分布に大規模な irregularities があるためではないかとの豫想を立てている。

Radio Star

Hey, Phillips 及び Parsons が銀河電波の強度分布を測定中、白鳥座に radio star を發見してからこの興味ある存在は多くの天文學者の注目を集め、以來英國及びオーストラリアで系統的な観測、研究がなされているが、本性その他に關する重要な問題は未解決の状態である。

i) 數：干渉法・位相反轉切換法と觀測技術の進むにつれて見付けられた radio star の數は次第に増え、現在では約百箇多きに達している。これ等は位置・強度などが表にされ一箇一箇に名前が付けられている。この名前の付け方は統一されていないが、代表的なものとして radio star の存在する星座名と發見順序にアルファベットの文字を A から付けたものが用いられている。例えば Cygnus A, Taurus A など。

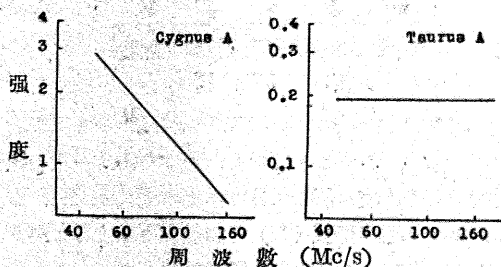
ii) 正確な位置測定はオーストラリアの Bolton, Stanley, Slee¹¹⁾ によつて行われし、實視天體との同定が試みられたが、數箇の例外を除いて殆ど成功していない。殊に白鳥座の最も強力な radio star (Cygnus A) の場合でもその附近にある著しい天體といえ、2 個の 7 等星のみである。面白いのは Taurus A で、之は一應カニ星雲と同定されている。カニ星雲は 1054 年の超新星爆發の名残と考えられている興味深い天體であるが、この星雲の視直徑は $4' \times 6'$ で現在の受信装置・分解能より小さいので、決定的な同定とはいえないだろう。

iii) 視差と固有運動：Smith¹²⁾ は 4 箇の radio star について表記の問題をしらべるため、3.7 m で 1 カ年、1.4 m で 6 カ月観測を行つたが、實驗精度の範囲内では變化は得られなかつた。即ち此等の radio star

は少くとも $\frac{1}{2}$ パーセック以上の距離に存在していることがいえる。

iv) 強度の長周期變化：Ryle, Elsmore⁹⁾ はやはり 3.7 m の波長で數多くの radio star の強度を 18 カ月にわたつて観測し、1000 日より短い周期をもつ 0.1 等級以上の強度變化は存在しないことを示した。

v) 視直徑：現在の観測設備では分解能が低いため、視直徑の上限が得られるのみであるが、割に大きな見かけの面積をもつものに對しては、干渉計の lobe spacing を變える事によつて大雑把な値が推定される。例えば射手座及び帆座にある radio star に對

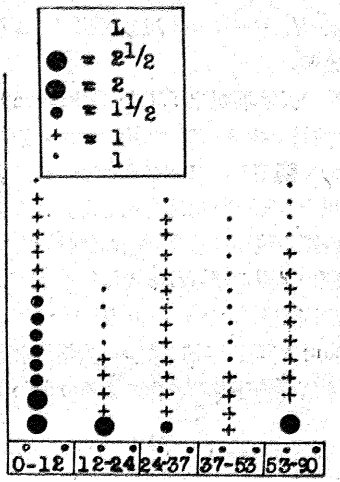


第 4 圖 Radio Star のスペクトル
強度の単位： $10^{-22} \text{ Wm}^{-2} (\text{O/S})^{-1}$

しては $35'$ 程度の視直徑を持つていることが示される¹³⁾。又 Piddington と Minnett¹⁰⁾ は白鳥座に新しい電波源を發見し、これに Cygnus X なる名前を付けたが、之は長さ 6° 、幅 1.5° にわたる大きなもので、radio star と云うより寧ろ radio nebula というべきものであろう。

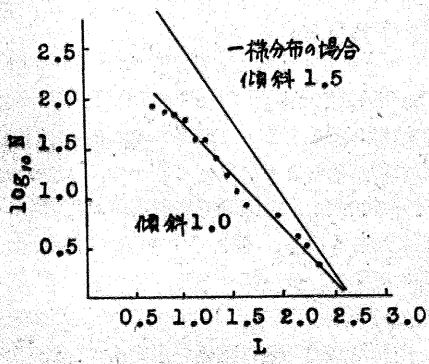
vi) スペクトル：數箇の代表的な radio star について Ryle¹⁰⁾, Stanley, Slee¹²⁾ 及び Piddington 等の觀測結果を總合すると、radio star のスペクトルには二つの型があるよう見える。一つは Cygnus A の如く $40 \sim 160 \text{ Mc/s}$ の範圍で輻射強度が周波數に略逆比例しているもので、他に Virgo A, Centaurus A もこの型に屬する。他は輻射強度が周波數に無關係に略一定の値を示す型で、Taurus A の様に $60 \sim 1200 \text{ Mc/s}$ にわたつて一定の強度を示すものが此の代表である。前述した Cygnus X なる radio nebula も之と同型のスペクトルを示し¹⁰⁾、射手座の radio star も 101 Mc/s と 1200 Mc/s で略同じ輻射強度を示しているから、この型に入るかもしだい。Taurus A のスペクトルは光學的に薄いガス殼からの熱輻射のそれと同型であるが、これを以てカニ星雲の膨脹ガス殼よりの熱輻射と斷定するのは早計で、強度その他を光學的觀測と調和させるのは困難である。

vii) 空間分布：radio star の統計的な空間分布は



第 5 圖

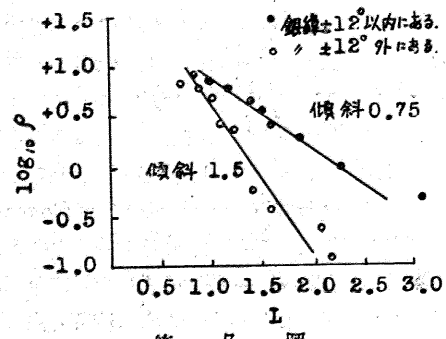
Ryle¹¹, Mill¹² によつて論じられたが、ここでは後者の解析を追つていくことにする。天空を銀緯一定の線で區切つた等面積の領域に分け、その中に存在する radio star の強度等級 (L) と個数を圖示すると第 5 圖になる。此處に L は強度を對數的尺度で表したもので、radio star の輻射強度を $P \cdot \text{Watt} \cdot \text{m}^{-2} \cdot (\text{c/s})^{-1}$ で表せば $L = \log_{10} P \times 10^{23}$ で與えられる。この圖を見ると強力な radio star は銀河面に著しく集中していることに氣付くであろう。この間の事情を一層はつきりさせるため、横軸に等級 (L)、縦軸に L 以上の強度をもつ radio star の數 (N) の對數をプロットする(第 6 圖)。



第 6 圖

ところで色々な絶対強度を持つた radio star が空間に一様に分布している場合には第 6 圖のカーヴの傾斜が 1.5 になる事が理論より要請される。しかるに實際のカーヴの勾配は 1.0 に近いから、radio star の空間分布は一様ではないと結論できる。そこで銀緯士 12° を境として天球を二つの部分に分け、それの中の radio star について上と同様な圖をつくつてみる(第 7 圖)。但しこの場合には二つの領域の張る立體角が

異なるので、単位立體角當りの個數 (ρ) の對數を縦軸にとつてある。すると銀河面より離れた所に存在する radio star の組に對しては、ガーヴの傾斜は 1.5 を



第 7 圖

示し一様分布の場合と一致しているが、銀河面に集中して存在する radio star の組は 0.75 の勾配を持っている。この値は radio star が薄い圓板狀の分布をしていて、觀測者がその中心よりはずれた處に居ることを示している。

以上の事から radio star には空間分布からみて二つの型があると推定される。之をそれぞれ I 型・II 型と名付けければ、I 型は銀河系内に存在する強度の強い輻射體で銀河面の近くに分布して居り、II 型はその分布が一様なことから、非常に強力な銀河系外の天體か或いは銀河に比べて充分近い所にある弱い電波源であると想像されよう。

上記の諸項で例にあげた radio star を空間分布の上から區別すれば、Cygnus A, Taurus A や射手座、帆座の radio star は I 型に屬し、Centaur A, Virgo A は II 型に屬している。

水素輝線

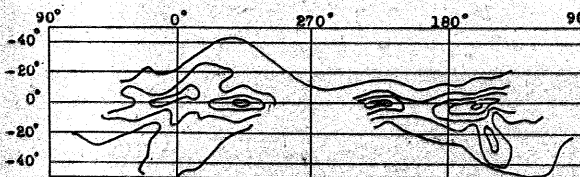
此處數年間における Radio Astronomy 最大のトピックは、何といつても 1420 Mc/s の水素輝線の發見であろう。この線は中性水素原子の基底状態 2S 超微細構造間の遷移によつて生ずるもので、既に 1945 年 van de Hulst¹³ が銀河方向でこの輝線が觀測される可能性を豫言している。併しこの附近の波長域は技術的に非常に難しい處であるため、觀測は仲々進まなかつたが、1951 年アメリカの Ewen 及び Purcell¹⁴ によつて初めて檢出された。それに引續いてオランダの Muller, Oort¹⁵ 更にオーストラリアの Christiansen, Hindman¹⁶ は可動空中線を使用し、系統的な觀測を行ふことに成功した。

この輝線測定の物理的意義は、光學的手段では測れなかつた星間ガスの生態を直接知る事ができるという

點で非常に重要であり、今迄観測的な證據のなかつた星間物質中の中性水素の存在を確認しただけでもその功は大きい。測定に用いる受信器はダブルスーパー・ヘテロダインで、第二局發の周波數を數 Mc/s の範圍にわたつて徐々に且つ連續的に變えることにより、水素輝線 附近の波長域を sweep しスペクトル線の輪廓を記録するようにしてある。又感度を上げるために一種 変調法を採用している。すなわち第一局發の發振周波數は百數十 Kc/s 離れた 2 周波數間を低周波 (25 c/s 或いは 30 c/s) で切換え、この低周波成分を増幅検出する機構になつてゐる。

(i) 強度分布：オーストラリアで観測された水素輝線の強度分布を 20° K 置きの等温線で圖示したのが第 8 圖で、最大強度は anticentre 方向にあり温度に換算すると 100° K に相當する。

(ii) 輝線の輪廊：スペクトル線の輪廊は方向によつて變化を示し、線の幅も銀河の中心方向では 0.12



第 8 圖 水素輝線の強度分布
座標は銀經銀緯

Mc/s, anticentre の方向では 0.17 Mc/s となつてゐる。更に興味深いのは、銀河面に沿うかなりの範囲で二重線の観測されることで、一例をあげれば銀經 25° , 銀緯 0° の方向では約 0.18 Mc/s の幅を持つ二つの線が 0.28 Mc/s の間隔を置いて存在している。

上記の様に銀河面に沿つて輝線強度の變化がある原因としては、銀河系り廻轉と銀河系内における物質分布の不均一性とが考えられる。銀河系はその中心の周りに内側程速い廻轉運動を行つてゐるため、銀河系の各部分は太陽系に對する方向と距離とによつて異なる視線速度を持ち、従つてスペクトル線の幅が擴がる事が豫想される。而して媒質が光學的に厚い場合はスペクトル線の中心強度は變らないが、光學的に薄い場合には中心強度が減少する筈である。この様な効果があるため水素輝線の幅及び中心強度は、銀經に沿つて周期的變化をすると考えられる。併し簡単なモデルを假定したのでは、観測された線の輪廊及び強度分布の不規則な点を説明する事ができず、むしろ銀河系の構造の複雑性を示しているようである。實際第 2 圖と第 8 圖

を比較すると分るように、電波領域の連續輻射線スペクトルの強度分布は割合似ていて、極大の位置も略對應している。連續輻射は銀河系の廻轉の影響を大してうけない點を考え合せれば、これら二種類の輻射の分布は銀河系の構造を示す有力な指標であることが推測される。

二重線の存在はその方向に異なる視線速度をもつ二つの輻射體があるためと考えられる。これを前述の銀河廻轉の概念で解譯すれば、太陽系からの距離が異なる二つの水素ガス雲が帶状に存在することになり、銀河系内の物質が渦巻状に分布しているのを暗示しているのかもしれない。

又輝線の幅 $0.12 \sim 0.17$ Mc/s を解譯するには、 10^4 K 程度の温度で説明するよりも、局部的なガス雲の不規則な運動のためと考えるのが妥當の様で、それに相當する random な視線速度は ± 12 乃至 18 km/sec となる。

以上銀河を中心として、Radio Astronomy の立場から見た最近の話題を取り上げてみたが、まとまりのない敘述に終つた點は寛恕を乞い度い。

この古き園に艶を競つて咲き出た幾多の新しい花が輝かしい實を結ぶこともそう遠い將來ではないであらう。

文 献

- 1) M. N., 111, 45, 1951.
- 2) B. A. N., 11, 323, 1951.
- 3) M. N., 111, 357, 1951.
- 4) M. N., 110, 508, 1950.
- 5) Phil. Mag., 43, 197, 1952.
- 6) Nature, 164, 101, 1949.
- 7) Nature, 168, 962, 1951.
- 8) Nature, 168, 555, 1951.
- 9) Aust. J. Sci. Res., A 5, 266, 1952.
- 10) Aust. J. Sci. Res., A 4, 459, 1951.
- 11) Rep. Progr. Phys., 13, 184, 1950.
- 12) Aust. J. Sci. Res., A 3, 234, 1950.
- 13) Ned. tijdschr., Naturkunde 11, 201, 1945.
- 14) Nature, 168, 356, 1951.
- 15) Nature, 168, 357, 1951.
- 16) Aust. J. Sci. Res., A 5, 437, 1952.

アメリカの天文臺巡り

萩 原 雄 祐

昨年9月ローマの国際天文連合総會に出席して後ヨーロッパの天文臺を尋ねたが、それから大西洋を渡つてアメリカに行つた。アメリカでは今まで行く機會のなかつた南部の諸天文臺も巡つたので、今回は主としてそれについて述べてみたい。

東部及び中西部の天文臺の訪問を終つて、12月2日コロラド州 Boulder から自動車で雪野原を走ること4時間、途中 Cremon Pass の景色を賞でながら標高3450mの Climax 村に出た。ここにはハーバード大學とコロラド大學が協同で經營するコロナ観測所がある。コロナグラフは5インチ、焦點距離90インチのものでコロナのスペクトル寫真を毎日とつてゐる。45°おきに1分の露出で太陽を、一回り撮影して、このようなものを毎日2回ずつとつてゐる。このほかに H_x によるプロミネンスの映像と太陽面の映像とを撮影しているが、これにはそれぞれ4Δと0.5Δの幅のリオーフィルターを用いてゐる。

現在では Sacramento Peak のコロナ観測所と協同して観測しているのであつて、両者の間で短波通信によつて連絡をとつてゐる。両方の観測所の天氣は相反するような状態にあつて、この二個所を合すると一年を通じ90パーセントは観測が可能の由である。両方で撮られた乾板は Boulder にあるコロラド大學のオフィスへ運ばれ測定している。測定はコロナ輝線に似せた線の像を強度を変えた尺度のものを用意してあつて、それに比較してコロナ輝線の強度を読みとるものである。

その Boulder のオフィスへ翌日 Dr. Rush に案内してもらつた。ここでの工場で将来 Sacramento Peak に備える 16 インチのコロナグラフを製作中であつた。

Denver から飛行機で El Paso に飛び、その近くにある Las Cruces の農工大學に立寄つた。ここではハーバード大學が流星観測用のスーパーシュミット・カメラをおいてある。Dona Ana と Soledad の二個所において同時撮影を試みているのであつて、今迄の

器械では 1951 年の 1 年間に 90 個餘りの同時撮影の流星を得たのがたつたのが、1952 年 11 月にはこのスーパーシュミットでは 281 個も撮影し得た由であつた。この流星カメラには回轉羽がとりつけてあつて、1 秒間に 60 回轉している。乾板は 2 秒毎に移動させて、上層大気の流れを研究できるようになつてゐる。また新しいものとして、1 等級以上の流星が出現すれば光電誘導装置によつてカメラがその方に向き、流星のスペクトルを撮影するというものができていた。

その夜 Dr. Evans に連れられて Alamagordo の町へ出て、それから Sacramento Peak へ登つた。ここでのコロナグラフは露天に出してあるが、雨の少ないこの地の天候のよさがつくづく美しい限りである。前述の 16 インチのコロナグラフを収めるドームが作られてあつたが、その中には 20 萬ドルを費して作つた實驗室が備えられてゐる。このコロナグラフはデータにしてその地下の實驗室に導き、そこでコロナ輝線の分光測光ができるようになつてゐる。

Sacramento Peak には 3 日ほど滞在し、それから Fort Davis のマクドナルド天文臺へ行つた。82 インチ反射鏡のドームの床が半圓ずつ別間になつていて、別々に上下できるという面白い機構

になつてゐる。ここでは 13 インチの反射鏡、10 インチの天體寫眞儀などを見た。

その翌日 Los Angeles に出てウイルソン山およびパロマー山天文臺を尋ねたが、Pasadena にある Hale Solar Laboratory へはじめて行く機會を持つた。ここはホールが退職後自分で作つたものである。塔型遮鏡が主體で、40cm の太陽像を作り 11 mm/A のグレーティングを用いて観測している。フィルター、1/4 皮長板とニコルを通して光柵管に入れて太陽の偏光観測をしている。これで太陽面を掃引して太陽面の磁場の分布圖を毎日撮がせるという珍らしい裝置を見ることができた。次いでパークレーのカリフォルニア大學天文臺及びリック天文臺を尋ねて歸國の途についた。



サクラメント・ピークのコロナグラフ
(左端が筆者、畠中氏撮影)

各地の公衆天文臺を訪ねて（I）

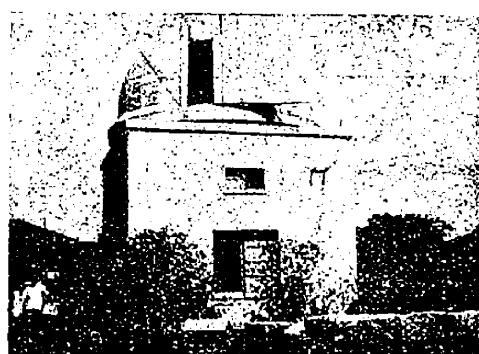
下保茂・眞鍋良之助・宮田弘一郎*

近年我が國の各地で公開されている天文臺の數が急に増え、實際の天體観望を通じて學生生徒及び一般社會人の間に天文教育と天文知識の普及に盡している事は戰前の比ではない。ここに東京天文臺の數名の者が昨1952年中に、機會ある毎に訪れて得た各地の公衆天文臺の様子を次にお傳えしよう。既に本誌の讀者には充分知られていると思われる事も、一通りは書き加えておいた。福井へはまだ訪ねる機会がないので、同天文臺からの手紙によつて書いた。

倉敷天文臺

1926年に倉敷市の實業家原澄治氏によつて創設され、以來東亞天文協會によつて經營されてきたこの天文臺は、天文普及のために公開を目的とした我が國最初の公衆天文臺として、その名は天文ファンに親しまれてきた。近年同天文臺の主要器械であったカルバー12時反射望遠鏡は水路部に譲渡されたが、最近數地がずつと擴張されて12時反射鏡室の北寄りにコンクリート2階建の直徑5米のドームが新設され、5時屈折望遠鏡が納められた。そしてこの望遠鏡を中心として財團法人倉敷天文臺が設立されて昨年（1952年）7月8日開館式が舉行された。5時屈折鏡は對物鏡口徑118mm、焦點距離182cm、運轉時計附赤道儀で木造西村製である。

天文臺は倉敷駅から約1キロ、町の中心の繁華街を通りぬけ南の郊外にあり、附近には大原美術館、農業研究所等をひかえ他の中小都市には見られない特色を示している。財團法人の理事長は原澄治氏であるが、専任の職員として本田實氏が昨年秋に本據を廣島縣瀬戸市から此處に移され、公衆天文臺としての經營



倉敷天文臺

* 東京天文臺

の傍ら彗星搜索、掩蔽観測に努めて居られる。彗星には5個の發見に増やく（3個の新發見と2個の獨立發見）15個反射鏡（焦點距離91cm木造鏡）を搜索専用機に作つて使用しておられたが、これは接眼部が鏡筒を支持するフォークの軸に收められていて、天のどの方向を見るにも同じ姿勢でよく、且片手のハンドルの操作だけで、観測者の椅子ごと望遠鏡が任意の方向に向かられる巧妙なものであつた。

尙構内には水路部の分室があつて、金子秀氏外數名の職員が常駐され、観測と計算に従事されている。

生駒山天文博物館

奈良縣生駒山上、京都大學附屬の天文臺と向い合つて天文博物館がある。ここは東西に大阪と奈良の平野を一望におさめる景勝之地であり、海拔630mの高さながら登山電車で山頂まで登れるために、大阪から1時間餘で交通の便も至つてよい。既に山頂には美しい紅葉が見られる10月の1日ここを訪ると折柄上田穎先生が来ておられて、いろいろ御話を伺うことができた。

博物館は略南北に長い建物の南端に高さ約30mの高塔、これに對する北の端に61cm反射鏡のドームを持ち、中間の平屋建の部分に講堂、宇宙旅行を模型的に見せたロケット室、プラネタリウム室がある。南端の高塔は以前の航空塔を改裝したもので、各階に地球、太陽系、恒星系、星雲等の説明圖や模型が陳列されていた。スピツ式プラネタリウムは投影室の直徑6m、中央に設かれた五角12面體の頂が地軸に平行の回転軸に取付けられて天球の星座を投射し、その軸と23°の角度をもつた軸に取付けた、數個のドラムが太陽、惑星等を投射する。折柄學校の遠足季節で、百人餘りの小學生が熱心に説明を聞いていた。

直徑9mのドームに收められた61cm反射望遠鏡の鏡筒はフレーム式、架臺はフォーク式赤道儀で、天界（第17卷、189號）によれば反射鏡の口徑610mm、厚さ83mm、焦點距離368cm、F/6.3、重さ68kgで英國のトムキンスという人の作である。ドームの一階は研磨室になつていて、レンズ反射鏡等を磨く研磨機が數臺備えられ、希望者に開放されているのは鏡面を自作するアマチュアにとつては有難い設備だと思つた。

天文博物館は財團法人組織で昭和26年7月7日開

館、常任の職員は事務局長小林左一氏外數名の方がおられ、多い時は一日 1000 名以上の来館者がある由である。

大阪プラネタリウム

大阪市の中心地帯に近い西臨四ツ橋の電気科学館の六階にあるプラネタリウムは昭和 12 年 3 月の開館で、ヴァイス式のプラネタリウムとしては戦前同型のものが東京にあつたが、戦災で焼失したので今は誠に貴重なものとなつた。戦前ヴァイスが全部で 27 枚作り、米國に 6 枚、ソ聯に 2 枚同型のものがある筈である。

星空を投影する爲の半球形の部屋の内径は 18 米、中央に重量 1/4 噸の例の潜水尖の頭の様な異様な形の天體投影機がどつかと据つていて、約 9000 個の恒星と銀河、太陽、月、五大惑星から流星など、静かな音楽と親切な説明附で本物の夜空を仰ぐ様に見せてくれる。客席は 830 が時に 1 回 6,700 名を入れる時もあるそうで、今は一日五回、毎回 1 時間位ずつを要するとのことであつた。完成當時からこの主任をされていた高城武夫氏は昨年春退かれ、現在佐伯恒夫、神田豊雄の兩氏が主として當つておられる。ここは又大阪に於ける天文家達のセンターともなつてゐる様で、世界脇の普及に盡力している日本暦法協議の事務所にもなつていて、筆者が訪れた時は井本進氏が見えていた。

山口博物館

山口市の西郊を限る通丘の麓に山口大學、県立圖書館と並んで四十年の歴史を誇る博物館があり、その前庭に 4 時屈折望遠鏡室がある。9 月に同縣の徳山に施設観測を行つた際に山口大學の學長松山基範先生が観測場所まで來られた御縁で、随途にここを訪れた。この博物館は以前土地の熱心な天文愛好家惠藤一郎氏が館長をしておられ、數年前他に轉じられたが、その影響は今も残つてゐる様で、この 4 時屈折望遠鏡は主として學校生徒を對象として太陽観測、夜間の天體観測

に伸びよく活動している様であつた。格納室は移動家屋、望遠鏡は木製三脚臺に載せられた連轉時計附赤道儀である。外に館内には天文に関する寫真や説明圖がかなり多く見られた。

府市民天文臺

山陽線を三田尻駅で下車すると、この以府市立圖書館のコンクリート三層の書庫の屋上に 4 時屈折望遠鏡がある。五葉製の鏡柱紙、連轉時計附赤道儀で移動家屋に格納されている。市の教育課に所屬し、夏期等一定期間主に學校生徒を對象に公開されているそうであるが、以前からここの指導に當つておられる菅原己氏が多少遠距離に轉勤されて、普及活動にはやや不便な様に見受けられた。

福井市立天文臺

福井市内足羽山公園にあり、市・總務課に所屬し、昨年 4 月完成した。戦災に次いで昭和 29 年の大震災に見舞われた同市が、復興計畫の一部としてコンクリート三階建の博物館を建設し、その上に 6 時屈折望遠鏡を持つたこの天文臺を設けた。圓型ドームの直徑は 4.5 米、望遠鏡は野物鏡口径 150 mm、焦點距離 225 cm、五葉製で旭川天文臺と同型の連轉時計附赤道儀である。附屬品として焦點距離 50 梱の星野カメラ、

對物プリズム、クロノメーター、クロノグラフ等を有する。夜間の公開も伸び活潑の様で、東谷謹氏が當つておられ、一般及學生から成る天體観測研究會が結成されている。



生駒山天文博物館の
61 植反射望遠鏡

海外論文紹介

地球の赤道半径と月の視差の決定

古在由秀*

世界各地の測地經緯度は、天文観測からその方向を決めた Bessel, Clark 等の標準圓盤を基準として決めてある。しかしこれらの基準標準盤の赤道半径 a や離心率 e として與えられている數値には相當の差があり、中心の方向も一般には地球の實際のものと一致していない。又観測から求めた月の視差 π も假定した地球の大きさなどの誤差の影響を受けており、從つて月の距

離 p も實際のものとは違つていると考へられる。

日本でも行われているような施設の光電管観測**の結果に現れたこれらの誤差の影響から、 a や p の補正値を決めようという試みがアメリカの Army Map Service の O'Keefe と Anderson によつてなされた (A. J. 57 (1952) 108-121)。

観測された施設の瞬間に於ける月と星の位置を求める

て基本面上に投影すると、星の影は一般に計算された月線上にはのらない。その月の半径方向の差 $\Delta\sigma$ は、計算に使った月や観測者の位置とか月の半径とかに含まれている誤差によるものである。地球の平均自転軸を w 軸、Greenwich の子午面と赤道との交線を u 軸、東の方に v 軸をとつて観測者の位置を表わすと、 $\Delta\sigma$ は

$$\Delta\sigma = b_1 \Delta u + b_2 \Delta v + b_3 \Delta w + b_4 \Delta \alpha_C \\ + b_5 \Delta \delta_C + b_6 \Delta p + \Delta k$$

という形に書ける。

観測自體に基本面上で 20 m 位に達する誤差があるから、上の式でこれ以上の量に達するような項だけを考えれば充分である。

測量による誤差は 10 m 位で、又 Rice の研究によるとアメリカの地図原點 Meades Ranch での $\Delta\lambda$, $\Delta\phi$ は夫々 $-0.^{\circ}5$, $-1.^{\circ}2$ というような小さな値となるから、各地の Δu , Δv , Δw の値は一定とみなしてもよい。アメリカの地図は Clark の橢円体を基準として作られているが、國際橢円体からの補正值を求める式を導くことにして、先ず Δu , Δv の式を考える。 Δu , Δv は各地で一定であるから、 u , v , $\Delta\lambda$, $\Delta\phi$ には Meades Ranch での値を代入すると、 Δe による影

響は無視出来て

$$\left. \begin{aligned} \Delta u &= -0.1151 \Delta a - 14.94 \text{ m} \\ \Delta v &= -0.767 \Delta a - 21.45 \text{ m} \end{aligned} \right\}$$

という式が得られる。

次に月の力學誤差の式から、Brown によつて採用された $57^{\circ} 2.^{\circ}70$ という水平誤差を基にした誤差からの $\Delta\pi$ を計算し、更にこの $\Delta\pi$ から Δp を求める。

Δp の主要項は

$$\Delta p = \frac{2}{3 \sin \pi} \Delta a + 0.7731 \frac{\cot \pi}{\sin \pi} \text{ m}$$

となる。

更に月の運動も考慮して同じ月線上の現象が観測されるように観測地點を選べば、月の半径 k は一定とみなせる。しかし基本面上に角速度成分をもつ運動の爲に十數分間に最大 30 m 位に達する誤差は免れない。

次に月の位置の $0.^{\circ}00186$ の誤差は基本面上の 1 m の誤差に相當する。ここで使われているデータでは、同じ星の観測の最大時間差は 17 分であるから、2.80 m の誤差にとどめる爲には、この十數分間にお互に $0.^{\circ}01$ まで矛盾しない月の位置を知らなくてはいけない。そうすれば同じ星の掩蔽では $\Delta\alpha_C$, $\Delta\delta_C$, Δp は一定とみなせる。

星†	時 刻	φ	λ (西經)	$\Delta\sigma'$	Θ	A	C	m
1	2540	1949 XI 1 2 50 20.177	36 57 24.137	106 3 5.023	2 134	- .226 740	- .026 854	- 6
2	2540	" 3 7 47.213	39 22 39.817*	96 48 24.974	2 146	- .173 032	+ .026 854	+ 6
3	501	1950 II 24 4 26 16.823	31 40 33.382	106 16 59.842	2 051	- .218 319	- .019 377	+ 5
4	501	" 4 35 7.449	29 36 59.767	98 0 50.176	2 042	- .179 565	+ .019 377	- 5
5	348	1950 III 22 2 20 31.991	33 9 8.536	101 37 54.583	2 072	- .364 183	- .006 2735	- 14
6	348	" 2 22 57.628	32 19 33.927	97 12 10.453	2 099	- .351 636	+ .006 2735	+ 14
7	996	1950 VII 23 4 37 42.441	37 34 24.186	120 49 19.622	1 875	- .409 422	- .087 457	+ 3
8	996	" 4 45 58.509	34 8 39.901	115 14 19.455	1 865	- .365 826	+ .006 189	- 7
9	996	" 4 50 40.044	31 38 39.869	111 32 2.859	1 877	- .340 648	+ .081 317	+ 4

† Zodiacal Catalogue

十数分の間では月の誤差、赤緯、星の赤緯は變らないと考えられることから

$$U = b_3 \Delta w + b_4 \Delta \alpha_C + b_5 \Delta \delta_C + \Delta k$$

は同じ星の掩蔽観測では常数とみなせることが分る。

従つて $\Delta\sigma$ の式は

$$\Delta\sigma' = \Theta \Delta a + U$$

の形となり $\Delta\sigma'$, Θ は各観測毎に計算出来る量となる。

ここで使われているのは別表のような 4 つの星についての 9 つの観測で、一つの星についての $\Delta\sigma'$, Θ の平均値をとつて各観測毎の $\Delta\sigma'$, Θ から引きざること

によつて U を消去して Δa の係数 A と常数項 C とが求まる。従つて $\Delta a = \frac{C}{A}$ となり、これを A^2 をウェイトとして平均すると

$$a = 6 878 448^{\pm} 169 \text{ m}$$

という結果が得られ、これから月の水平誤差は $57^{\circ} 2.^{\circ}680$ と求まる。

この方法は未だ多くの誤差から免れられず、又 A の値も小さいので精度はあまりよくないが、掩蔽の光電観測による測地學上的一つの結果として注目したい。

* 東京天文臺 ** 天文月報 44 卷 6 月號、廣瀬、大澤兩博士の稿を参照されたい。

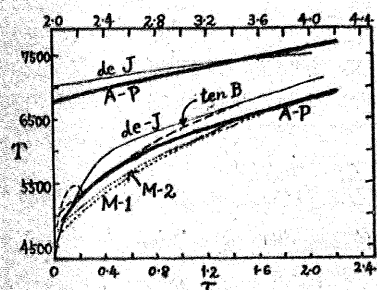
太陽大氣のモデル 稲場文男*

太陽吸收線の輪廓及中心一周邊強度變化や連續スペクトルの強度等の解釋には太陽大氣の中でガス壓、電子壓、溫度及連續吸收係数が深さに伴つて、どの様に分布しているかを知らなければならない。しかしこの様な大氣のモデルは、blanketing effect, κ/κ_0 の比、對流層、大氣の化學組成等の知識が不十分なので、理論のみからは十分精しく作られない。従つて、周邊減光の觀測から得られる經驗的な溫度分布（天文月報、45, 2月, 19）を採用して、流體力學的及び局所熱力學的平衡といふ基本的な假定の下に物理量の間の矛盾のない關係を求める方法がとられており、既に Strömgren (1944), Barbier (1946), Münch (1947, 48), de Jager (1948, 51) 等により、溫度分布、水素—金屬比、連續吸收係数の假定の相違によつて、夫々異つたモデルが求められた。しかし、新たな連續スペクトルの觀測によつて、溫度分布が改良されるならば、それに伴つて新しいモデルを作ることができる。

Aller と Pierce は、Michigan で、主として赤外部の波長領域 ($0.5 \sim 10.2 \mu$) で行われた周邊減光の觀測と Mulders の太陽中心での連續輻射の強度分布を用いて、觀測された波長についての光學的深さ τ_λ と溫度の關係を求め、又 4500° という低い表面溫度を得た (Ap. J., 114, 145 (1951)) が、それから iteration method によつて最近新しいモデルを發表した (Ap. J., 116, 176 (1952))。

その手續としては、

1. 溫度分布は 4 つの波長 (5485, 6980, 9920, 11973



種々のモデルの溫度分布の比較

de Jager, ten Bruggencate, Münch (1 は nongray 大氣, 2 は gray 大氣) 及び Aller and Pierce (現論文) の溫度分布を示す

Δ について得られたものを基にして採用されるが、 τ との關係を得る爲に κ/κ_0 が水素負イオン及び中性

水素で與えられると假定して理論値からそれを求める、と、その様な溫度分布では太陽の全輻射が大きくなり過ぎてしまう。即ち有効溫度が高く出てしまうわけで、従つて正しい値を與える爲には κ/κ_0 の比を理論値より 1.85 倍だけ大きくしなければならない（この理由としては、線吸收及び他の連續吸收の存在が考えられる）。それ故この様な經驗的な τ によつて溫度分布が決定され又ガス壓、電子壓の變化が計算された。

2. 化學組成は今迄に作られたモデルとの比較の爲に同様の水素—金屬比、 $\log A = 3.0, 3.4, 3.8, 4.2$ を假定したが、更にヘリウムの存在を考えて $\log A = 3.4$ の場合に He/H の比として $\frac{1}{20}$ と $\frac{1}{5}$ を採用した。

（太陽の正常のスペクトルではこの比は決定されていない）。即ちこの場合には水素 1000 に對して、金屬は $(\text{Fe} + \text{Si} + \text{Mg} + \text{Ni})$ が 0.432、又 $(\text{Na} + \text{Ca} + \text{Al})$ が 0.011 の數の割合で大氣中の物質に含まれていると考えて、それに He が 50, 200 と加つた時に種々の物理量への影響を調べようとしたのである。

その結果 He が多く加わると、一定の深さの所でガス壓は増加し、 κ は減少する傾向にあるが、電子壓への影響は小さく又 κ/κ_0 の變化はない事がわかる。

3. 次に今迄に求められたモデルと比べると、

1. 溫度分布は $\tau = 3.5$ まで de Jager の分布より低く、又 $\tau = 1.6$ までは Münch の分布より高くなっている。

2. ガス壓は、 $\log A = 4.2$ の場合に de Jager, Münch の何れよりも系統的に低い。

3. 電子壓は $\log A = 4.2$ の場合に Münch の結果と同程度であるが、de Jager の結果より相當に低くなっている。

以上の點が新しいモデルの特徴と考えられるが、既に發表された幾つかの太陽大氣のモデルは金屬元素や水素の吸收線の中心一周邊變化の説明への量的試みによつて厳密な吟味を受けている事は明らかである。併し一方では連續スペクトルの中心強度分布や周邊減光の觀測との比較によつてモデル自身の検討と共に、連續吸收係数の理論値が赤外域で小さ過ぎる事の指摘に役立つており、このモデルも新しい觀測事實の発明に用いられる事によつて、太陽大氣構造の問題に寄與することができるであろう。

* 東北大天文學教室

星雲分布の非一様性 成相秀一*

大反射鏡による探索から、(1) 星雲の大多數は宇宙の観測可能な領域に一様に分布する孤立星雲乃至小星雲群からなる、(2) 星雲間空間は本質的には空虚である、と云う現在一般に承認されている見解が得られた。ところが最近 Zwicky はシュミット鏡による研究から、以上の見解は大修正を要する事を主張した。(P. A. S. Pacific, 64, 1952 の二論文) もし之がより實在に近いならば重大な影響を各方面に及ぼすと思われる所以、以下に於て紹介したい。

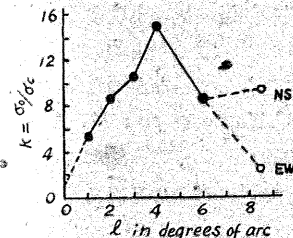
彼は以前より膨脹宇宙の立場に餘り贅意を持たず、之と關聯して星雲間空間には観測にかかる程度の物質が存在する事を豫想していたが、48 時シュミットにより luminous matter の存在を確證した。即ち Coma, Pegasus 等の大星雲群の中心部の luminous patch のみならず、數萬光年の相互間隔を持つ星雲の小グループに於てそれ等をつなぐ luminous cloud を見出した。表紙の寫真は其の一例である。

α (1950.0) δ m_p

- A : IC 3481, S_{op}型, 12^h30^m21^s, +11°49'.8, +15.^m0
- B : 無名, S_{op}型, 12 30 26, +11°40'.0, +16. 0
- C : IC 3483, S_{op}型, 12 30 38, +11°37'.4, +15. 6

原板では背景とのコントラストが非常に弱いために今迄見逃されていたが、現在では多數發見されて 200 時反射鏡で探られつつある。上例の星雲はブルーであり、 $+7250 \pm 300 \frac{\text{km}}{\text{sec}}$ の視線速度に對應する赤方偏移を示し、 M_p は A:-16, B:-15, C:-15.4 で明るい事、距離は 13.2×10^6 パーセク、即ち Coma 星雲群と同程度と概算される。

彼は又 18 時シュミットより、上述の Hubble の結論(1)の大修正即ち星雲は群をなす傾向が著しく、



空間は大きが一個の星雲群程度の cluster cell に分割出来る事を主張したが、此處では星雲群の分布に及ぼす影響について論じられた。彼は Dispersion-subdivision による統計法を高銀緯領域に應用した結果、Hubble の 20 倍即ち百萬個程度の勘定を行つたにも拘

* 東北大天文学教室

らず分布は一様から程遠い事を主張した。之は 17.^m5 迄の探索に基く Shapley のそれと大體一致する。

Coma 星雲群を中心とする 12° 平方内の總數 $n_t = 36327$ 個の星雲についての實例は次の如くなる。先ず全領域 144 平方度を Z 個の小域に分割し、 n_i , \bar{n} , δ_i をそれぞれ各小域内の星雲數、平均値、 $n_i - \bar{n}$ とする。標準偏差 σ_0 は下式で與えられる。

$$\sigma_0 = \left[\frac{1}{Z} \sum_{i=1}^Z \delta_i^2 \right]^{1/2} \quad (1)$$

一方相互作用の無い random 分布に對する理論値 σ_0 は

$$\sigma_0 = [n_t (1 - 1/Z)/Z]^{1/2} \quad (2)$$

今 $k = \frac{\sigma_0}{\sigma_0}$ の Z に對する變化の模様を見ると圖の如くなる。但し NS, EW は領域を南北、東西に分割した $Z=2$ の場合を表わす。又 k 最大に對應する $l=4^\circ$ は丁度 Coma 星雲群の中心部の大きさと等しい。然るに random 分布に於て、 k が 1 より大なる k_0 より大きい確率は k_0 の增加と共に急激に減少する故、圖は Coma 領域の分布が random でない事を示す。

以上の結果に加えて、彼は次の諸點について言及した。

(1) 銀河吸收は一般に高銀緯になる程少いが、其の變化は一様單調ではない。

(2) 48 時シュミットで調べた隣接領域に於ける星雲數の相違は星雲間吸收によるであろう。

(3) 空間吸收の少い領域で、同じ極限等級迄の探索に於て、48 時シュミットによる星雲數は大反射鏡の場合の數倍である。

(4) 星雲の光度函数は $M_p = -14.2$ に最大頻度を持つ Hubble 型と相違して、光度の減少につれて單調に増大する。

之等の諸點より、彼は宇宙の平均密度として在來の百倍以上即ち $10^{-26} \frac{\text{g}}{\text{cm}^3}$ 程度を採用すべきこと、及び大星雲群の内部構造の統計力学的特徴についての考察より、宇宙の time-scale は在來考えられた $10^9 \sim 10^{10}$ 年より遙かに大きい事を主張し、且つユーリッド靜的空間を假定する方が星雲の空間分布の觀測とより一致する傾向を示す事を暗示した。若し以上の結論が正しいならば、在來の宇宙觀は大修正を必要とする事になり、今迄の模型宇宙はすべて廢棄されねばならない。特に一般相對論は其の根本を搖がされるであろう。かくして重力の理論は再考察を必要とする事になり、Milne 的な空間概念が採用されるに到るであろう。

最近到着の発見電報

☆ Mrkos 新彗星 チェコの Skalnate Pleso 天文臺の Mrkos 氏は 52 年度 6 番目の新彗星を乙女座に発見した。(昨年 XII 月 10 日着電)。その報告およびその後の観測は次の通り。

1952 U.T. α δ (分點) 光度

XII 9.156 13^h27.^m0 -11°50' (50.0) 10^m (報告)

XII 19.816 13 48. 2 -23 47 (〃) 9 (三鷹)

XII 28.854 14 19. 1 -37 56 (〃) 9 (倉敷)

以後は南天低く去つて日本では観測不能になつた。

☆ Haro 新星。Harvard 大學天文臺の Haro 氏は II 月 10 日次の位置(射手座)に光度 10 等の新星を発見した。(II 月 15 日着電)

α 17°57'^m12^s δ -29°54'36" (1875.0)

5 外惑星の日心座標 話は一寸舊聞に屬するが, W. J. Eckert, Dirk Brouwer, G. H. Clemence などによつて 1653 年から 2060 年までの 5 外惑星の 40 日毎の日心座標が計算されて Astronomical Papers of the American Ephemeris 12 (1951) に發表されている。この計算は 1780—1940 の約 25,000 個の観測を吟味して常數を決定し、内惑星の質量を太陽の質量に加えることによつて内惑星による影響を入れ、太陽及び 5 外惑星の相互引力を考慮しての 30 階の非線型微分方程式を IBM の SSEC (Selective Sequence Electronic Calculator) を使って數値的に解くことによつてなされたものである。

ところで Clemence は土星について、この結果と Hill の表との間にかなりの差異を見出し、これを Hill の理論に於ける永年攝動項と大攝動項の係數の誤りによるのではないかと考え、Hill の省略した天王星による第二次攝動を計算してこれらの係數の補正値を求めた。この補正値はかなり重要な項となるが、しかしこれによつて SSEC による値との不一致は餘り小さくはない。従つてこの不一致は、Hill の理論にも、その作表の過程にも何か缺陷がある爲であろうと Clemence はいつている (A. J., 56, 385; 57, 88, 1952)。

又 Brouwer によると海王星については、Newcomb の表とも、観測とも長年にわたつてよく一致している。従つてこの計算に使つた冥王星の 1/360,000 という質量はかなり確かなものとしてよい。しかし天王星については Newcomb の表との間に系統的な不一致がある。これも Newcomb の理論の不完全さによるらしい。(A. J., 56, 35, 1952)

更に Woolard は Herschel の發見以前の海王星の Flamsteed (1690—1715), Mayer (1756), Lemoine (1750—1771) の觀測と比較している。O-C の最大値は赤經については 0.82, 赤緯については -9.2" である (A. J., 57, 35, 1952)。 (古畠)

散在流星の速度 流星のレーダー觀測が進んで、8 等乃至 9 等くらいまでの流星が捉えられ、それらの速度が求められるようになつた。M. Almond, J. G. Davis, A. C. B. Lovell (M. N., 112, 21, 1952) はこれらの暗い流星までを使って散在流星の速度を多數求めて、その統計的の結果を發表している。使用したレーダーは波長 8.13 m, ピーク出力 240 kw で、1950 年の秋の曉天、1951 年春の夕方に行つたものである。1950 年にはだいたい毎時 200 個以上の流星を捉え、毎日數十個の速度を求めている。春にはその數はほぼ 10 分の 1 におちている。

肉眼觀測の流星數とレーダー觀測のものを比較してレーダーに捉えられた流星の光度を推定した。速度と明るさの間にはほとんど關係が見當らず、これは Öpik がさきに求めた速度分布は流星の光度によつて違うという結果を否定している。

更に面白いことは今度の結果では抛物線軌道となる速度のものが非常に少なく、今まで長い間 Öpik 或いは Hoffmeister などが眼視觀測によつて多數の抛物線軌道のものの存在を主張していたものを完全にくつがえす結果となつた。しかもそれが 6 等以下というような小さい流星に對してもそくなつてゐることは注目に値する。何れにしてもレーダーの觀測の發達によつて今までの眼視觀測の結果などは御破算にしなければならないような時代となつてしまつた。 (古畠)

龍座流星群の軌道 每年出現する主な流星群の中で 1 月 3, 4 日にのみ激しい出現をする龍座流星群の軌道だけがはつきりしていなかつたが、マンチェスター大學の G. S. Hawkins and M. Almond (M. N., 112, 219, 1952) はレーダー觀測によつてそれを求めている。その結果は次のようである。

α ω i e q a
282°5 166° 67° 0.46 0.97 1.8

これによると周期は 2.4 年となり、双子座流星群に次いで(夜間の流星群として)短かい周期のものとなつてゐる。平均の輻射點は 231°2+49°0 と與えられているが、2 つ乃至 3 つの副輻射點が年によつて觀測されるようである。 (古畠)

海上保安廳水
路部

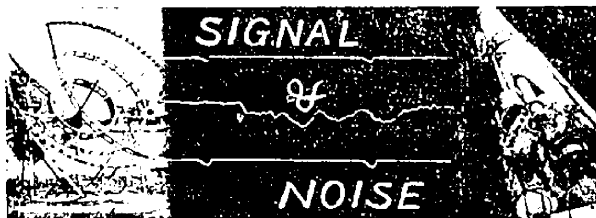
昨年の12月水路部海象課長に宮原宜氏が就任した。氏は1927年東大の天文學科を卒業し、測地學委員會嘱託等を経て水路部に入つた。専攻は天體力學であるが、水路部へ入つてからは潮汐を擔當して今日に至つている。今まで水路部で黙々と Poincaré, Cartan や Winter に沈没していたが、塚本裕四郎海象課長と共にこれからその脚をふるう時が来たわけである。

★東京天文臺

東京天文臺では川崎市西生田小學校々庭に小懶流星寫眞儀を置き、主要流星群の出現期間に天頂との間で基線7kmの同時寫眞観測を行つてゐる。

昨年12月13日の双子座流星群にも、例により観測者が自転車に乾板を積んで三里の山道を出かけた。約束の21時より観測を始めたところ流星が出来ること出ること、6時間の観測時間中に約500個の流星を数えた。翌朝三鷹に歸来し現像したところ從來1ヶ年かかつてやつと寫せた數より多い、20個の流星が三鷹と川崎で同時撮影され、眼鏡観測による出現時刻の判定にも一苦勞という程であつた。翌日は同時刻の観測では普通程度以下の出現しか認められなかつた。

(T)



萩原綱吉が Harvard 大學の High Altitude Observatory のコロナグラフで撮影した紅焰の映画 (16mm, 約400 feet) を持ち歸られたので、その封切 (?) が先日臺内の關係者が集つて行なわれた。これには浦々の型の紅焰が收められていて、簡単な字幕による説明が入つてゐる。近頃の紅焰の分類表の説明を見ても仲々ピンと來ないが、これを見るといつて納得がいく。Menzel 氏が某通俗雑誌に紅焰として外に吹出す物質の量より外から表面に落ちて来る物質の量の方が多いくらいだといつた意味の事を書いていたが、これもはじめて成程と思われた。像も極めて鮮明、誠に見事な物で、太陽面上に荒れ狂う火暴風の景觀に思わず息を呑む程であつた。

(N)

★乘鞍コロナ観測所

乗鞍コロナ観測所では今年も雪と氷の中で活躍がつづけられているが、冬ごもりの夜の無聊をいささかでも慰めるために最近バチンコ機が1台寄贈されたとのこと。多山の上で“チーン・ジャラジャラ”的音がするのはけだし有史以來のことであろうが、こんなものがあるとかえつて東京に歸りたくなるのではないかと心配する向きもある。「ナニ、此品がなくちやあ面白くないつて？」全く同感です。どなたが此品を寄贈する篤志家はありませんか。

新刊

東京天文臺長 萩原雄祐著 繼星雲の彼方 ￥220
秋原雄祐著

宇宙の進化、電波天文學、歐州の天文臺を訪ねて、等、第二次世界大戦後の新しい問題を捉えて、一般教養人に贈る萩原博士の天文隨筆第二集！

佐伯恒夫著 火星とその観測 ￥350

火星と取組む二十餘年、この筆者以外にあるまいといわれる佐伯氏の火星文献と獨特な観測法、歴史的な火星スケッチの集成は、正に専門書である。

東京新宿區四谷三榮町 恒星社 電話四谷1003番

NORMA 電磁時計

学校及びアマチュア
観測家に最適

特長

★0.5秒までの精度があります★インバースチーブル振子等を使用して温度誤差なし★ゼンマイを使わないため動力による誤差なし★使用乾電池は一年保証も取扱えます★秒時の記録又は音響を出す配線が出来ます

價格

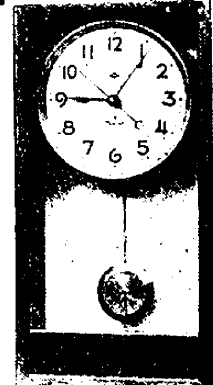
大理石付 ￥5,500.00

20×40×8 cm

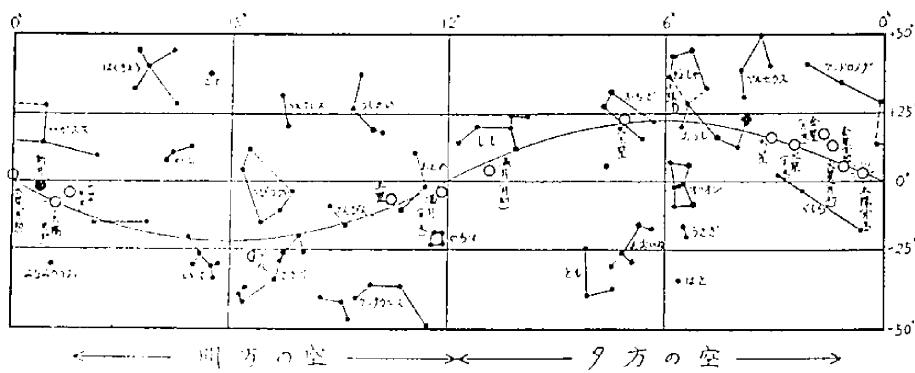
木版 ￥4,500.00
東京都武藏野市境895
株式会社

新陽舎

電話 東京42610



☆ 3月の天象 ☆



日出日入及南中（東京）中央標準時

月	出	入	方位角	南 中		南中高度
				時	分	
2	6 11	17 37	- 8.4	11	53	47° 0'
12	5 57	17 45	- 3.7	11	51	50 53
22	5 43	17 54	+ 1.2	11	48	54 50

月 相

望	1	3	50	上弦	22	17	10
下弦	9	3	26	望	30	21	55
朔	15	20	5				

各地の日出・日入

月	札幌		大阪		福岡		午
	時	分	時	分	時	分	
2	6 10	17 24	6 27	17 54	6 47	18 15	
12	5 53	17 36	6 14	18 3	6 34	18 23	
22	5 36	17 48	6 0	18 11	6 20	18 31	

惑星現象

2日	17時	水星	東方最大離角
8 "	9 "	金星	最大光度
18 "	22 "	水星	内合

木星衛星の主な食

日	時	分	衛星	現象	日	時	分	衛星	現象
4	19	50	II	食始	27	20	8	III	食終
6	21	22	I	食終	29	19	26	II	"
22	19	41	II	"					

五藤式天體望遠鏡

本邦唯一の天體望遠鏡専門メーカー

大正15年創業 戦後特許十数件

最近事業の一部

★20cm 太陽観測用シリコスタット（アメリカ地學協會、電波観測所、及氣象台納入）

★15cm 折赤道儀（旭川市、函館市納入）

★其他文部省購入幹旋品として全國大中小學校へ供給

福井市、旭川市兩市立 東京世田谷新町1の115
天文臺納入
15センチ屈折望遠鏡
(迴轉式ドーム共)

五藤光學研究所
東急玉川線駒澤駅前
電話(42)4320番

"カンコー"

天體反射望遠鏡

1954年大接近の火星観測の準備は今から始めて下さい。それには15cm以上の望遠鏡が必要でしょう。

①完成品各種

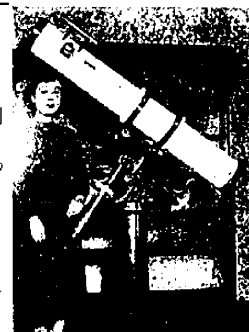
②各種高級自作用部品

③アルミニニウム鍛金

④水晶岩鏡、プリズム、レンズ

カタログは目的を明示し20円郵券同封申

越下さい、



カンコー 15型反射赤道儀

関西光學工業株式會社

京都市東山區山科御陵四丁野町
(電話山科 57番)